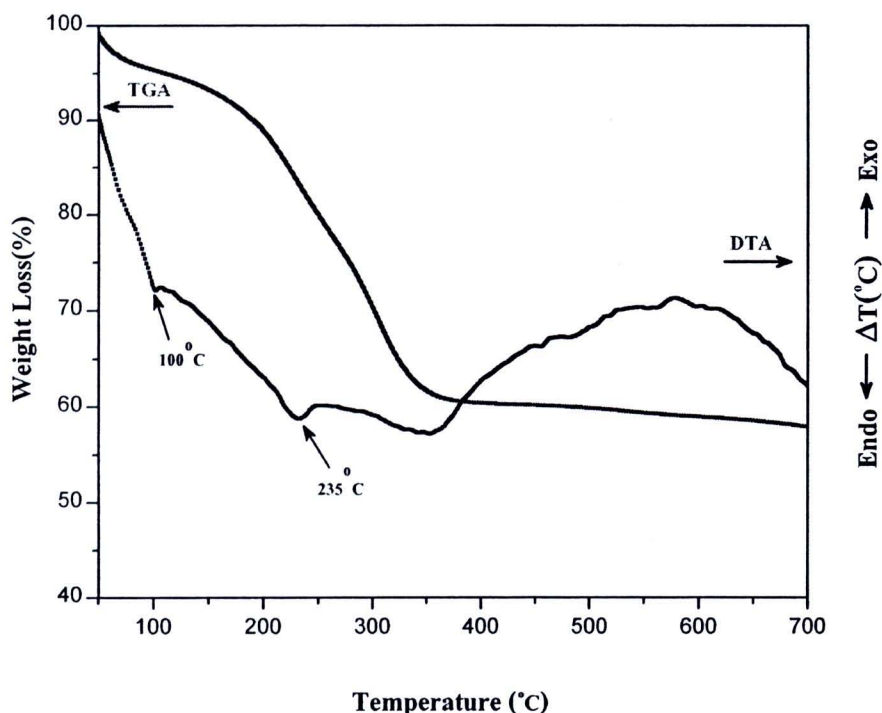


บทที่ 5

ผลการทดลองและอภิปรายผลในระบบของไทเทเนียมไดออกไซด์ที่เจือด้วยโลหะเงิน

ในบทนี้จะเสนอผลการทดลองที่ได้จากการเตรียมผงละเอียดและฟิล์มบางของไทเทเนียมไดออกไซด์ที่เจือด้วยโลหะเงิน (Ag-TiO_2) ร้อยละ 0.5, 1.0, 1.5, และ 2.0 โดยโน้มที่ความเข้มข้นของไทเทเนียมเป็น 0.1 มอลาร์ ซึ่งมีขั้นตอนการเตรียมและการวิเคราะห์เช่นเดียวกับไทเทเนียมไดออกไซด์บริสุทธิ์ คือตรวจสอบพฤติกรรมทางความร้อนของเจลตั้งตัน ตรวจพิสูจน์เอกลักษณ์และตรวจสอบโครงสร้างในระดับจุลภาคของผงละเอียดของ Ag-TiO_2 ที่ผ่านการเผาแล้ว พร้อมทั้งตรวจสอบโครงสร้างในระดับจุลภาคและศึกษาสมบัติทางแสงของฟิล์มบางของ Ag-TiO_2

5.1 ผลการตรวจสอบพฤติกรรมทางความร้อนของเจลตั้งตันของ Ag-TiO_2

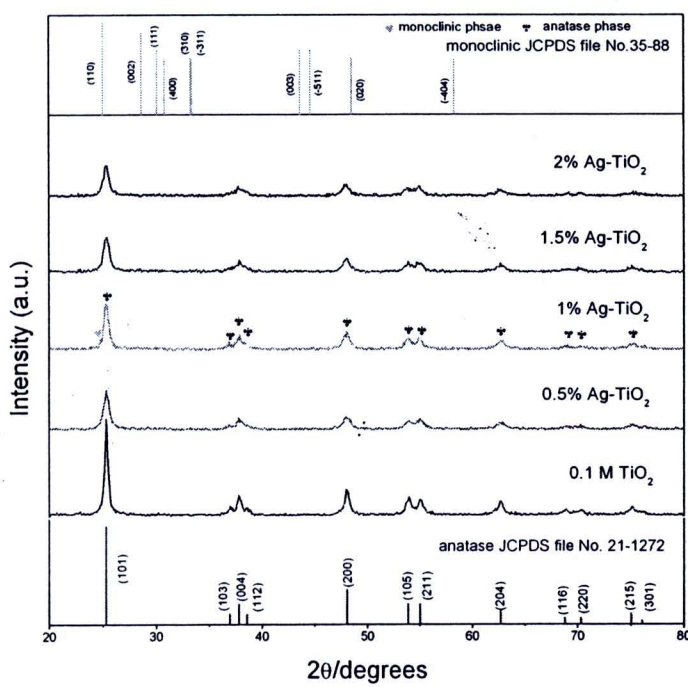
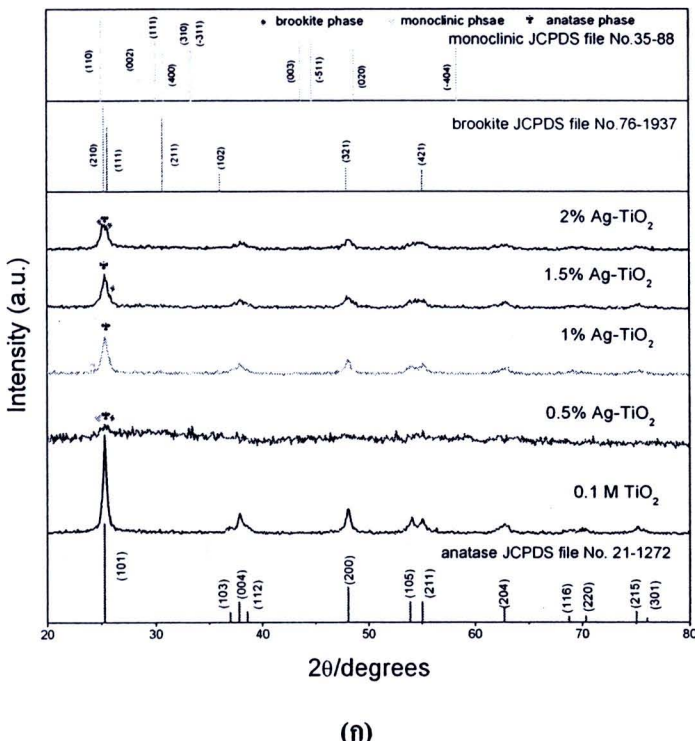


รูปที่ 5.1 แผนภาพ TGA/DTA ของเจลตั้งตัน Ag-TiO_2 ที่เจือโลหะเงิน 1% โดยโน้ม

จากรูปที่ 5.1 แสดงแผนภาพการเปลี่ยนแปลงทางความร้อนด้วยเทคนิค TGA/DTA ของเจลตั้งต้นของไทเทเนียม dioxide ไครด์ที่เจือด้วยโลหะเงินร้อยละ 1 โดยโนล พบว่ามีพฤติกรรมการเปลี่ยนแปลงทางความร้อนเกือบทั้งหมดเหมือนกับ TiO_2 คือมีการเปลี่ยนแปลงที่อุณหภูมิประมาณ $100^{\circ}C$ และ $235^{\circ}C$ ที่เกิดจากการสูญเสียน้ำและการสลายตัวของสารประกอบอินทรีย์ตามลำดับ แต่เมื่อพิจารณาในช่วง อุณหภูมิ $350-700^{\circ}C$ จะพบความแตกต่างของลักษณะการเปลี่ยนแปลงทางความร้อนที่เกิดขึ้น คือความ สูงของพีคของการเปลี่ยนแปลงทางความร้อนแบบคายความร้อนของ $Ag-TiO_2$ ลดต่ำลงเมื่อเทียบกับ TiO_2 ทั้งนี้น่าจะมีสาเหตุมาจากการเปลี่ยนแปลงของค่าคงที่การเปลี่ยนเฟสของ TiO_2 ซึ่งมีการขยายพลั่งงานความร้อน ออกนาโนโลหะเงินที่ทำการเจลลงไปจัดคุณภาพลักษณะความร้อนบางส่วนไว้ จึงทำให้ปริมาณความร้อนที่คาย ออกมากของระบบลดลง ดังนั้นลักษณะพีคของการเปลี่ยนแปลงทางความร้อนแบบคายความร้อนจึงมี ความสูงของพีคที่ลดต่ำลงเมื่อเทียบกับ TiO_2 จากข้อมูลที่ได้จากการตรวจสอบพฤติกรรมทางความร้อน ของเจลตั้งต้นของ $Ag-TiO_2$ ทำให้ทราบว่าช่วงอุณหภูมิและสภาพแวดล้อมที่ใช้สำหรับการเผาแคลไชน์ เจลตั้งต้นของ $Ag-TiO_2$ จะเหมือนกับที่ใช้ในการเผาแคลไชน์เจลตั้งต้นของ TiO_2

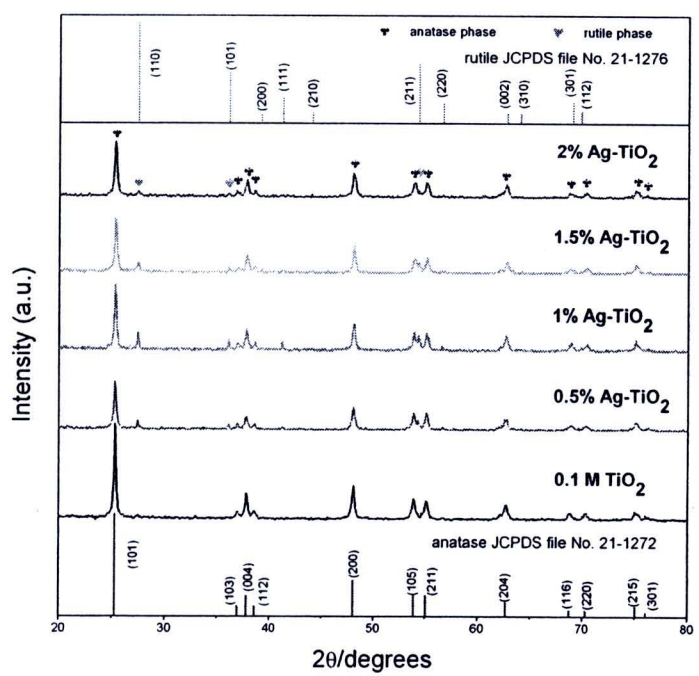
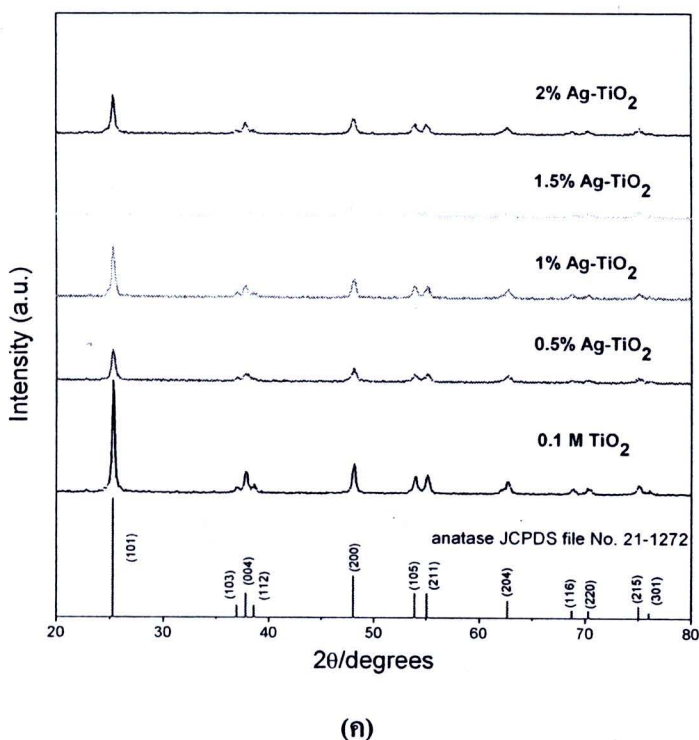
5.2 ผลการตรวจพิสูจน์เอกลักษณ์ของผงละเอียด $Ag-TiO_2$ ที่ผ่านการเผาแคลไชน์แบบ 1 ขั้นตอน ด้วย เทคนิคการถ่ายรูปแบบของรังสีเอกซ์ (XRD)

เมื่อทำการเผาแคลไชน์เจลตั้งต้นของ $Ag-TiO_2$ ที่ช่วงอุณหภูมิและภายใต้สภาพแวดล้อมที่กำหนด (ทำการเผาแคลไชน์ที่ช่วงอุณหภูมิ $300-600^{\circ}C$ ด้วยอัตราการขึ้นของอุณหภูมิเป็น $3^{\circ}C/min$ และอัตรา การลงของอุณหภูมิเป็น $1^{\circ}C/min$ เป็นเวลา 2 ชั่วโมง) ผงละเอียดที่ได้จากการเผาแคลไชน์เจลตั้งต้นที่ อุณหภูมิต่างๆ จะถูกนำมาตรวจพิสูจน์เอกลักษณ์และการเปลี่ยนเฟสของสารด้วยเทคนิคการถ่ายรูป ของรังสีเอกซ์ เพื่อนำข้อมูลที่ได้มาออกแบบการเผาแคลไชน์แบบ 2 ขั้นตอนต่อไป ผลการตรวจพิสูจน์ เอกลักษณ์ผงละเอียดของ $Ag-TiO_2$ ที่ผ่านการเผาแคลไชน์แล้วได้แสดงดังรูปที่ 5.2

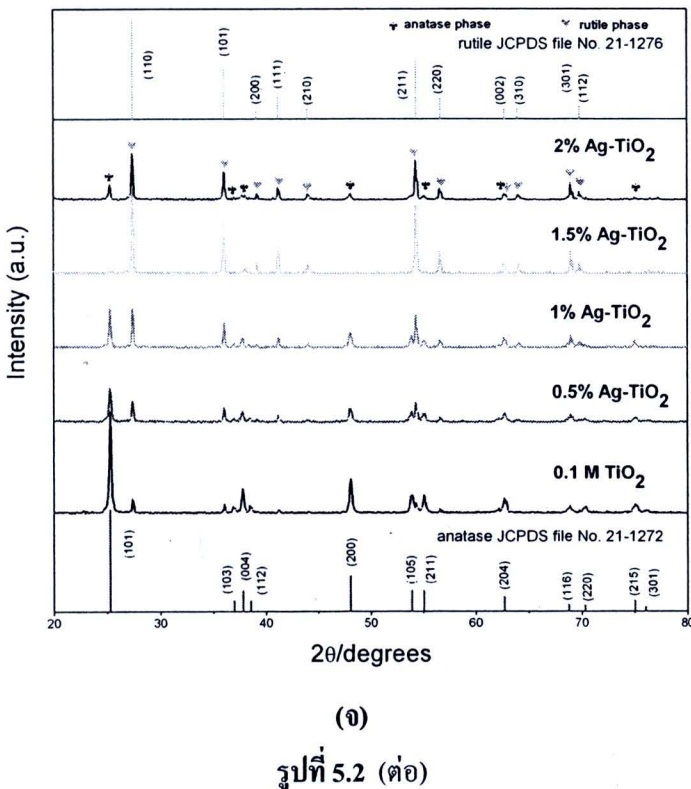


รูปที่ 5.2 รูปแบบการเดี่ยวบนของรังสีเอกซ์ของเจลตั้งต้นของไทเทเนียมไดออกไซด์และไทเทเนียมไดออกไซด์ที่เข้าด้วยโลหะเงินที่ผ่านการแคลไชน์ที่อุณหภูมิต่างๆ

(ก) 300°C (ข) 400°C (ค) 500°C (จ) 550°C (จ) 600°C



รูปที่ 5.2 (ต่อ)



รูปที่ 5.2 (ต่อ)

จากรูปที่ 5.2 (ก-จ) แสดงรูปแบบการเลี้ยวเบนของรังสีเอกซ์ของผลิตภัณฑ์ที่ได้จากการแคลไชน์เจลตั้งต้นที่ทำการเจือโลหะเงินร้อยละ 0.5 1 1.5 และ 2 โดยโมล ที่ความเข้มข้นของไทเทเนียมเป็น 0.1 โมลาร์ ในช่วงอุณหภูมิ 300-600°C

ที่อุณหภูมิการเผาแคลไชน์ 300°C พบร่วมกับการเจือโลหะเงินลงในเจลตั้งต้นของ TiO_2 รูปแบบการเลี้ยวเบนของรังสีเอกซ์ที่ได้จะต่างไปจากไทเทเนียมไกออกไซด์บริสุทธิ์คือ ที่ปริมาณการเจือโลหะเงินร้อยละ 0.5 โดยโมล จะปรากฏพิกัดที่สอดคล้องกับรูปแบบการเลี้ยวเบนมาตรฐาน (JCPDS) หมายเลข [35-88] [21-1272] และ [76-1937] แสดงว่า TiO_2 มีโครงสร้างผลึกแบบโมโนคลินิก อะนาเทส และบูร์คไกท์เกิดขึ้นตามลำดับ เมื่อเจือโลหะเงินเพิ่มขึ้นเป็นร้อยละ 1 โดยโมล พบร่วมกับโครงสร้างผลึกที่เกิดขึ้นเป็นแบบอะนาเทสเท่านั้น และเมื่อทำการเจือโลหะเงินเพิ่มขึ้นอีกเป็นร้อยละ 1.5 และ 2 โดยโมล พบร่วมกับพิกัดที่ได้สอดคล้องกับรูปแบบการเลี้ยวเบนมาตรฐานของโครงสร้างแบบอะนาเทสและบูร์คไกท์ แสดงให้เห็นว่าโครงสร้างผลึกแบบอะนาเทสและบูร์คไกท์เกิดปนกัน

ที่อุณหภูมิการเผาแคลไชน์ 400°C พบร่วมกับ $\text{Ag}-\text{TiO}_2$ ที่เจือโลหะเงินร้อยละ 1 โดยโมล มีโครงสร้างผลึกเป็นแบบอะนาเทสและปรากฏพิกท์เกิดจากโมโนคลินิกเกิดขึ้น ส่วน $\text{Ag}-\text{TiO}_2$ ที่เจือโลหะเงินร้อยละ 0.5 1.5 และ 2 โดยโมล จะมีโครงสร้างเป็นแบบอะนาเทสเท่านั้น

ที่อุณหภูมิการเผาแคลไชน์ 500°C พบร่วมกับ $\text{Ag}-\text{TiO}_2$ ที่ทุกปริมาณการเจือโลหะเงินมีโครงสร้างผลึกเป็นแบบอะนาเทสเท่านั้น

ที่อุณหภูมิการเผาแคลไชน์ 550°C พบร่วมกับ Ag-TiO_2 ที่ทุกปริมาณการเจือโลหะเงินมีโครงสร้างหลักเป็นแบบอะนาเทสและเริ่มปรากฏพิกที่ 2θ เท่ากับ 27.45° ซึ่งสอดคล้องกับรูปแบบการเดี้ยวบนมาตรฐาน (JCPDS) หมายเลข [21-1276] เพิ่มขึ้นมา แสดงว่าเริ่มมีโครงสร้างผลึกแบบบรูไท์เกิดขึ้นมาในขณะที่ TiO_2 ยังไม่ปรากฏพิกหลักของโครงสร้างหลักแบบบรูไท์เกิดขึ้น แสดงให้เห็นว่าการเจือโลหะเงินมีผลทำให้เกิดการเปลี่ยนแปลงโครงสร้างจากอะนาเทสไปเป็นรูไท์เกิดได้เร็วขึ้น นอกจากนี้ยังพบว่าแนวโน้มการเกิดรูไท์จะเพิ่มขึ้นเมื่อปริมาณการเจือเพิ่มขึ้นจากร้อยละ 0.5 ถึง 1 โดยโมล จากนั้นจะกลับพบแนวโน้มการเกิดรูไท์ลดลงเมื่อปริมาณการเจือเพิ่มขึ้นจากร้อยละ 1.5 ถึง 2 โดยโมล ซึ่งผลของการเจือโลหะเงินลงใน TiO_2 ที่มีต่อการเปลี่ยนแปลงโครงสร้างจากอะนาเทสไปเป็นรูไท์ และผลของการเจือโลหะเงินที่มีต่อแนวโน้มการเกิดรูไท์นั้นจะกล่าวในรายละเอียดในหัวข้อ 5.4

ที่อุณหภูมิการเผาแคลไชน์ 600°C พบร่วมกับ TiO_2 และ Ag-TiO_2 ที่ทุกปริมาณการเจือโลหะเงินมีโครงสร้างผลึกแบบอะนาเทสและรูไท์เกิดปนกัน และปริมาณรูไท์ของ Ag-TiO_2 ที่เกิดขึ้นจะสูงกว่าปริมาณรูไท์ของ TiO_2 นอกจากนี้ยังพบว่าปริมาณการเกิดรูไท์จะสูงขึ้นเมื่อเปรียบเทียบกับการเผาแคลไชน์ที่ 550°C และแนวโน้มการเกิดรูไท์จะต่างกันคือ ปริมาณการเกิดรูไท์จะสูงขึ้นเมื่อปริมาณการเจือเพิ่มขึ้นจนถึงร้อยละ 1.5 โดยโมล จากนั้นจึงพบแนวโน้มการเกิดรูไท์ลดลงเมื่อปริมาณการเจือเพิ่มขึ้นถึง 2 โดยโมล

นอกจากนี้ยังสังเกตเห็นว่าพิกหลักของโครงสร้างแบบอะนาเทสของ Ag-TiO_2 ในทุกปริมาณการเจือโลหะเงินจะมีความเข้มน้อยกว่าพิกหลักที่ได้จาก TiO_2 บริสุทธิ์ และยังพบว่าพิกหลักของโครงสร้างแบบอะนาเทสของ Ag-TiO_2 มีความกว้างที่ความสูงเป็นครึ่งหนึ่งของพิกมากกว่า TiO_2 แต่ที่ 600°C การเจือโลหะเงินในปริมาณร้อยละ 0.1 และ 0.2 กลับมีค่าน้อยกว่า แสดงให้เห็นว่าเมื่อทำการเจือโลหะเงินลงใน TiO_2 จะมีผลต่อความเป็นผลึกและขนาดอนุภาคของ TiO_2

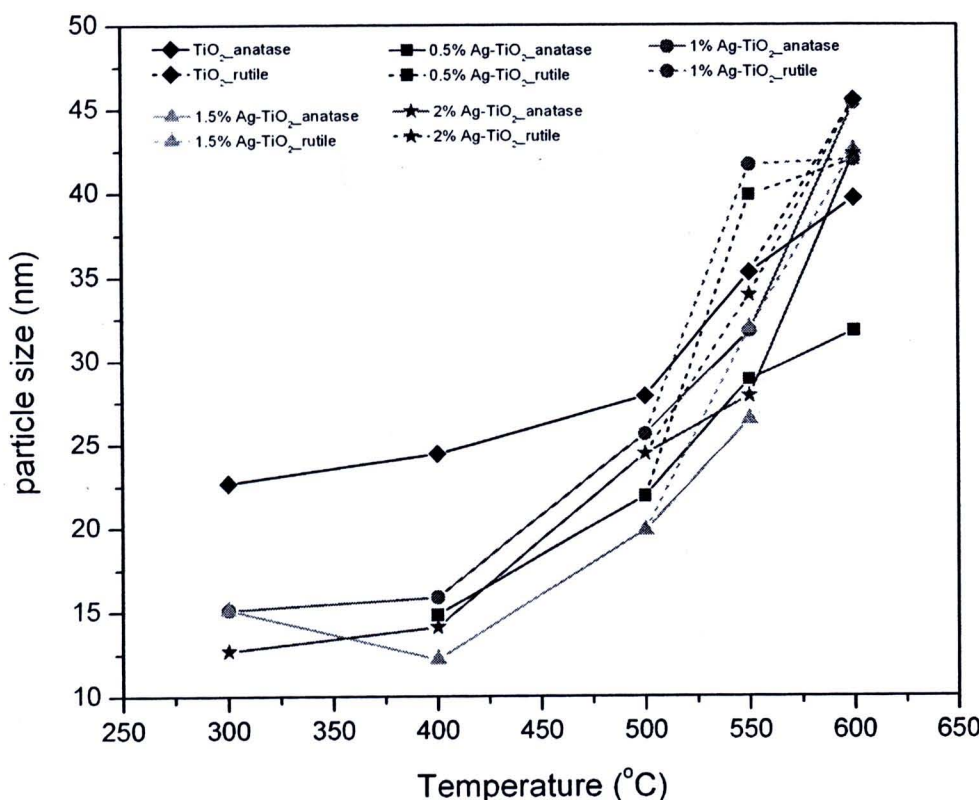
ตารางที่ 5.1 ผลิตภัณฑ์ที่ได้จากการเผาตัวโดยการหุงต้มของ Ag-TiO₂ ที่ผ่านการกรองแบบ 1 ชั้นตอน

ความเข้มข้นของ Ag (mol%)	อุณหภูมิทดลอง °C	ด้วยวัสดุหลัก (ร้อยละ)	ผลิตภัณฑ์						ขนาด晶胞 (nm)
			a=b (Å)	c (Å)	ปริมาตรหน่วยเซลล์ (Å ³)	a=b (Å)	c (Å)	ปริมาตรหน่วยเซลล์ (Å ³)	
0.5	300	-	-	-	-	-	-	-	-
	400	-	3.788	9.484	136.058	-	-	-	14.833
	500	-	3.784	9.543	136.636	-	-	-	21.890
	550	20.993	3.780	9.546	136.427	4.593	2.959	62.431	28.856
	600	44.105	3.782	9.488	135.727	4.596	2.956	62.425	31.743
	300	-	3.788	9.431	135.296	-	-	-	15.115
1	400	-	3.780	9.546	136.427	-	-	-	15.871
	500	-	3.780	9.546	136.427	-	-	-	25.598
	550	25.824	3.780	9.546	136.427	4.596	2.958	62.465	31.742
	600	54.901	3.782	9.517	136.135	4.591	2.957	62.338	45.346
	300	-	3.788	9.431	135.296	-	-	-	15.115
	400	-	3.780	9.546	136.427	-	-	-	12.208
1.5	500	-	3.784	9.489	135.861	-	-	-	19.839
	550	20	3.780	9.518	136.016	4.596	2.951	62.348	26.452
	600	96.564	-	-	-	4.596	2.956	62.442	-
	300	-	3.780	9.546	136.427	-	-	-	12.697
	400	-	3.784	9.543	136.636	-	-	-	14.107
	500	-	3.782	9.517	136.135	-	-	-	24.417
2	550	15.478	3.784	9.598	137.423	4.591	2.961	62.418	27.842
	600	79.211	3.782	9.517	136.135	4.593	2.957	62.371	42.323



5.3 ผลของการเจือโลหะเงินที่มีต่อขนาดอนุภาคของ TiO_2

ผลการคำนวณขนาดอนุภาคของ TiO_2 ที่ปริมาณการเจือโลหะเงินต่างๆ ในแต่ละอุณหภูมิแสดงดังตารางที่ 5.1 เมื่อนำขนาดอนุภาคของ TiO_2 ที่ได้จากการคำนวณมาพลอตกราฟความสัมพันธ์ระหว่างขนาดอนุภาคกับอุณหภูมิการเผาแคลไชน์ ซึ่งแสดงได้ดังรูปที่ 5.3 เมื่อพิจารณาขนาดอนุภาคอะนาเทสของ Ag-TiO_2 เทียบกับขนาดอนุภาคอะนาเทสของ TiO_2 จะพบแนวโน้มการเปลี่ยนแปลงอย่างชัดเจน 2 ช่วงคือ ช่วงอุณหภูมิ $300\text{-}550^\circ\text{C}$ และที่อุณหภูมิ 600°C



รูปที่ 5.3 แสดงขนาดอนุภาคของไทเทเนียม dioxide ไอออกไซด์และไทเทเนียม dioxide ไอออกไซด์ที่เจือด้วยโลหะเงินที่ผ่านการแคลไชน์ที่อุณหภูมิต่างๆ

ที่ช่วงอุณหภูมิ 300°C ถึง 550°C พนวจขนาดอนุภาคอะนาเทสของ Ag-TiO_2 ที่ได้เล็กกว่าขนาดอะนาเทสของ TiO_2 ซึ่งแสดงให้เห็นว่าการเจือโลหะเงินลงในไทเทเนียม dioxide ไอออกไซด์จะมีผลไปขับยั้งการเติบโตของอนุภาคอะนาเทสทั้งนี้เนื่องมาจากรัศมีไอออนของ Ag^+ (1.26 \AA) มีขนาดที่ใหญ่กว่ารัศมีไอออนของ Ti^{4+} (0.68 \AA) ทำให้การเจือโลหะเงินลงในไทเทเนียม dioxide ไอออกไซด์ด้วยกระบวนการโซลเจล ไอออนของโลหะเงินไม่สามารถเข้าไปอยู่ในโครงสร้างผลึกของ TiO_2 เพื่ออยู่ในรูปสารละลายของแข็งได้ ดังนั้นในขณะที่ทำการเผาแคลไชน์ไอออนของโลหะเงินที่กระชาบทัวอยู่โดยบ่มีกรนของ TiO_2

ล้อมรอบจะค่อยๆ เคลื่อนที่ไปยังบริเวณผิวน้ำของกรน ซึ่งไอออนของโลหะเงินจะไปรบกวนการแพร่ และการจัดเรียงตัวของไอออน Ti^{4+} และ O^{2-} ที่บริเวณขอบเกรนส่งผลให้การเติบโตของผลึกช้าลงขนาด ของผลึกที่จึงมีขนาดเล็กลง นอกจากนี้ไอออนของโลหะเงินยังเคลื่อนที่ต่อไปตามขอบของกรนไปยัง ผิวน้ำของพงะอะเอียด TiO_2 ทำให้ต้องใช้พลังงานในการเคลื่อนที่ของขอบเกรนเพิ่มขึ้นส่งผลให้แรง ขับเคลื่อน (Driving force) สำหรับการเคลื่อนที่ของขอบเกรนเพื่อเพิ่มขนาดเกรนนั้นลดลง ดังนั้นขนาด อนุภาคอะนาเทสของ $Ag-TiO_2$ จึงมีขนาดเล็กกว่าขนาดอะนาเทสของ TiO_2

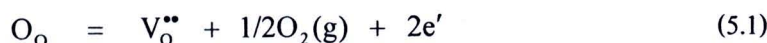
เมื่อพิจารณาถึงอัตราการเติบโตของอนุภาคอะนาเทสที่ได้จาก $Ag-TiO_2$ ในช่วงอุณหภูมิ $300^{\circ}C$ ถึง $550^{\circ}C$ พบว่าเมื่อเพิ่มอุณหภูมิจาก $300^{\circ}C$ เป็น $400^{\circ}C$ อัตราการเติบโตของอนุภาคอะนาเทสที่ได้จาก $Ag-TiO_2$ จะน้อยกว่าอัตราการเติบโตของอนุภาคอะนาเทสที่ได้จาก TiO_2 เนื่องจากที่ช่วงอุณหภูมิดังกล่าว เป็นช่วงอุณหภูมิที่ออกไชเดิมของโลหะเงินเกิดการสลายตัวกลایเป็นโลหะเงินบริสุทธิ์ซึ่งการ เปลี่ยนแปลงนี้เป็นการเปลี่ยนแปลงแบบคุดคลื่นพลังงาน ทำให้พลังงานที่ใส่เข้าไปในระบบส่วนหนึ่ง ถูกใช้ไปในการสลายออกไชเดิมของโลหะเงิน ดังนั้นพลังงานสำหรับการขยายตัวของอนุภาคจึงลดลง ขนาดอนุภาคจึงเพิ่มขึ้นเพียงเล็กน้อยเมื่อมีการเพิ่มอุณหภูมิสูงขึ้น ส่วนที่อุณหภูมิ $400-550^{\circ}C$ พบว่า อัตราการเติบโตของอนุภาคอะนาเทสที่เจือด้วยโลหะเงินกลับมีค่าสูงกว่าอัตราการเติบโตของอนุภาคอะ นาเทสที่ได้จากไทเทเนียม โดยออกไชเดิมบริสุทธิ์ ซึ่งน่าจะมีสาเหตุมาจากการ Ag^+ ที่อยู่บริเวณผิวน้ำของ เกรนบางส่วนถูกเริ่มต้นขึ้นในรูปของโลหะเงิน (Ag^0) มีความสามารถในการนำความร้อนที่ดีทำให้อุ ภาคอะนาเทสมีโอกาสได้รับพลังงานมากขึ้นอัตราการเติบโตของอนุภาคจึงสูง

ที่อุณหภูมิ $600^{\circ}C$ พบว่าขนาดอนุภาคของอะนาเทสที่ได้จากการเจือโลหะเงินร้อยละ 0.5 โดยโน้ม ขนาดที่เล็กกว่าขนาดอนุภาคของอะนาเทสที่ได้จากการเจือในปริมาณร้อยละ 1 และ 2 โดยโน้ม อย่าง ชัดเจน ทั้งนี้น่าจะมีสาเหตุมาจากที่โลหะเงินมักจะเกิดการรวมตัวกันเป็นกลุ่มก้อนได้ง่าย ดังนั้นมีอ ปริมาณ Ag^+ มากขึ้นการรวมตัวกันเป็นกลุ่มก้อนของโลหะเงินในขั้นตอนการเผาแคลไชน์ที่มีการใส่ พลังงานเข้าไปในระบบมากๆ ก็จะเกิดขึ้นได้อย่างรวดเร็ว ซึ่งส่งผลให้ประสิทธิภาพในการลดการ เติบโตของอนุภาคอะนาเทสของโลหะเงินสิ้นสุดลงเร็ว จากรูปที่ 5.3 จะเห็นว่าการเผาแคลไชน์ที่ อุณหภูมิสูงถึง $600^{\circ}C$ การเจือโลหะเงินในปริมาณน้อยจะมีผลต่อการลดการเติบโตของอนุภาคได้ดีกว่า การเจือโลหะเงินในปริมาณสูง นอกจากนี้ยังพบว่าขนาดอนุภาคอะนาเทสที่ได้จากการเจือโลหะเงินใน ปริมาณร้อยละ 1 และ 2 มีขนาดใหญ่กว่าอนุภาคของอะนาเทสที่ได้จาก TiO_2 ซึ่งน่าจะมีสาเหตุมาจากการ ระบบของไทเทเนียม โดยออกไชเดิมบริสุทธิ์อุณหภูมิ $600^{\circ}C$ หมายสำหรับเกิดโครงสร้างแบบบูร์ไทร์ ดังนั้น พลังงานที่ให้กับระบบส่วนหนึ่งจะถูกใช้ไปกับการเปลี่ยนแปลงโครงสร้างไปเป็นรูปไทร์ ขณะที่ ไทเทเนียมโดยออกไชเดิมที่เจือด้วยโลหะเงินมีพลังงานก่อตัวมั่นคงในการเกิดโครงสร้างแบบบูร์ไทร์ ต่ำกว่า โดยจะเกิดที่อุณหภูมิ $550^{\circ}C$ ดังนั้นเมื่อทำการเผาแคลไชน์ที่อุณหภูมิ $600^{\circ}C$ พลังงานที่ใส่เข้าไปใน ระบบจึงมากพอที่จะทำให้เกิดการเพิ่มขนาดอนุภาคได้ จึงมีโอกาสที่จะพบว่าขนาดอนุภาคอะนาเทสที่ ได้จากการเจือโลหะเงินลงในไทเทเนียมโดยออกไชเดิมมีขนาดใหญ่กว่าไทเทเนียมโดยออกไชเดิมบริสุทธิ์

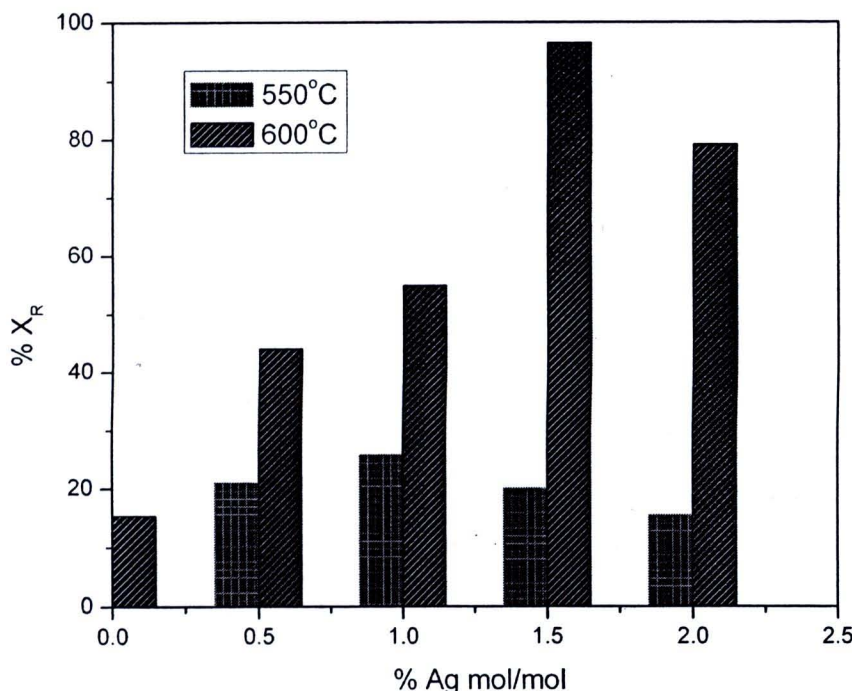
สำหรับขนาดอนุภาคของรูไกล์พบว่าจะมีขนาดที่ใหญ่กว่าอนุภาคอะนาเกส เมื่อจาก

5.4 ผลของการเจือโลหะเงินที่มีต่อการเปลี่ยนแปลงโครงสร้างของ TiO_2

จากรูปที่ 5.4 แสดงร้อยละ โดยมวลของรูไกล์ในผงละอีดของไทเทเนียมไดออกไซด์ที่เจือด้วยโลหะเงินในปริมาณต่างๆ พบว่าการเจือโลหะเงินลงใน TiO_2 จะมีผลทำให้เปลี่ยนแปลงโครงสร้างจากอะนาเกสไปเป็นรูไกล์เพิ่มขึ้น เนื่องจากผลของการเจือโลหะเงินทำให้ขนาดอนุภาคอะนาเกสลดลง จึงส่งผลให้พลังงานโดยรวมที่บริเวณขอบเกรนของผงละอีด TiO_2 เพิ่มขึ้น ส่งผลให้แรงผลักดันในการเกิดโครงสร้างแบบรูไกล์มากขึ้น และเป็นการกระตุ้นการเปลี่ยนแปลงโครงสร้างจากอะนาเกสไปเป็นรูไกล์ นอกจากนี้การเจือโลหะเงินมีผลต่อการเกิดซ่องว่างในผลึกในตำแหน่งออกซิเจน (Oxygen vacancies) เพิ่มขึ้น เนื่องจาก Ag^+ ไม่สามารถเข้าไปอยู่ในโครงสร้างของ TiO_2 ได้ และ Ag^+ มีศักยภาพไฟฟ้าเรียดออกซิสูง (Redox potential) เมื่อได้รับพลังงานและ TiO_2 เกิดไฟโตคัตติกรีดักชัน Ag^+ จะถูกเรียดวชิปไปอยู่ในรูปของ Ag^0 จากนั้นจะเกิดการขาดเชิงประจุโดยการเกิดซ่องว่างในผลึกในตำแหน่งออกซิเจนดังแสดงในสมการที่ 5.1 ซึ่งจะส่งผลให้การแตกพันธะของโครงสร้างอะนาเกสและการเคลื่อนที่ของไอออนเพื่อเกิดเป็นโครงสร้างแบบรูไกล์เกิดได้ง่ายขึ้น



เมื่อพิจารณาถึงปริมาณการเจือโลหะเงินที่มีต่อแนวโน้มการเปลี่ยนไปเป็นรูไกล์พบว่า ที่อุณหภูมิ 550°C แนวโน้มการเปลี่ยนโครงสร้างไปเป็นรูไกล์จะเพิ่มขึ้นเมื่อปริมาณการเจือโลหะเงินเพิ่มขึ้นจนถึงร้อยละ 1 โดยโนล เนื่องจากไอออนของโลหะเงิน (Ag^+) ที่กระจายตัวอยู่บริเวณขอบเกรนถูกเรียดวชิปไปอยู่ในรูปของโลหะเงินได้ง่าย และเมื่อทำการเจือโลหะเงินลงในปริมาณที่สูงขึ้นจะทำให้อุนภาคอะนาเกสมีโอกาสได้รับพลังงานความร้อนได้มากขึ้นเนื่องจากค่าการนำความร้อนที่ดีของโลหะเงิน จึงส่งผลให้การเปลี่ยนโครงสร้างจากอะนาเกสไปเป็นรูไกล์เกิดได้ดีขึ้นเมื่อปริมาณการเจือโลหะเงินสูงขึ้นจากร้อยละ 0.5 เป็นร้อยละ 1 โดยโนล แต่เมื่อทำการเจือโลหะเงินเพิ่มสูงขึ้นอีกเป็นร้อยละ 1.5 และ 2 พบร่วมกับการเปลี่ยนโครงสร้างไปเป็นรูไกล์กลับลดลง ซึ่งน่าจะเกิดจากปริมาณการเจือโลหะเงินที่เพิ่มสูงขึ้นทำให้โอกาสที่โลหะเงินจะเกิดการรวมตัวกันเป็นกลุ่มก้อนสูงขึ้น ประสิทธิภาพในการส่งผ่านความร้อนของโลหะเงินไปยังอนุภาคอะนาเกสในระบบจึงลดลง แนวโน้มการเปลี่ยนโครงสร้างไปเป็นรูไกล์เมื่อปริมาณการเจือโลหะเงินเพิ่มขึ้นจึงมีแนวโน้มที่ลดลง ดังนั้นที่ อุณหภูมิ 550°C การเจือโลหะเงินร้อยละ 1 โดยโนล จะทำให้การเปลี่ยนโครงสร้างจากอะนาเกสไปเป็นรูไกล์เกิดได้มากที่สุด

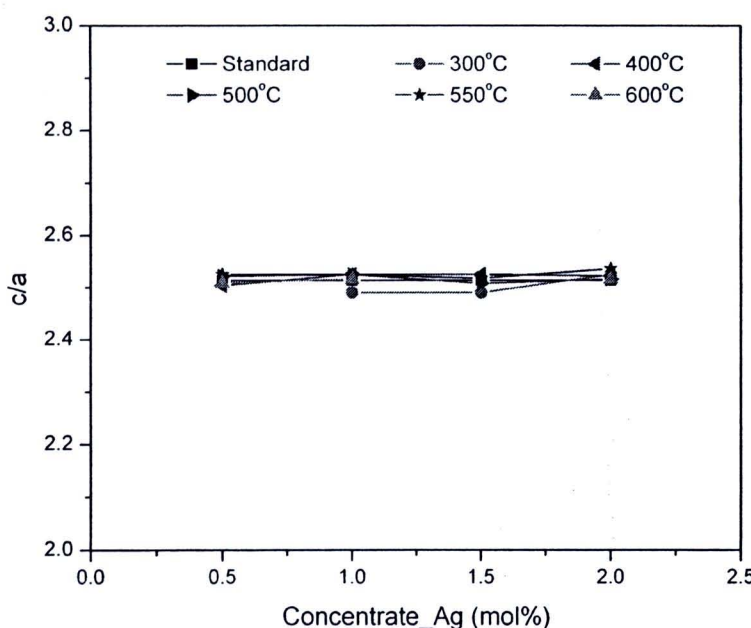


รูปที่ 5.4 แสดงกราฟความสัมพันธ์ระหว่างร้อยละ โดยมวลของรูไทล์ในผงละเอียดของไทเทเนียม ไดออกไซด์กับปริมาณโลหะเงินที่ทำการเจือ

ที่อุณหภูมิ 600°C พบร่วมกับการเจือโลหะเงินที่ทำให้เกิดการเปลี่ยนโครงสร้างจากอะนาเทสไปเป็นรูไทล์ได้มากที่สุดกลับสูงขึ้นเป็นร้อยละ 1.5 โดยโมล เนื่องจากการให้พลังงานกับระบบที่สูงขึ้นจะส่งผลให้โลหะเงินที่ทำการเจือดองไปในปริมาณร้อยละ 1.5 โดยโมล เกิดการรวมตัวเป็นกลุ่มก้อนและมีการขยายขนาดของอนุภาค ได้มากกว่าการเจือที่ร้อยละ 1 โดยโมล และเมื่อทำการเปรียบเทียบขนาดอนุภาคอะนาเทสของการเจือร้อยละ 1.5 ที่อุณหภูมิการเผาแคลไชน์ 550°C พบร่วมกับขนาดที่เล็กกว่าอนุภาคของการเจือร้อยละ 1 โดยโมล จากผลดังกล่าวทำให้แต่ละอนุภาคอะนาเทสของการเจือร้อยละ 1.5 โดยโมล มีโอกาสที่จะได้รับพลังงานจากการส่งผ่านความร้อนของโลหะเงินได้ดีกว่า การเปลี่ยนโครงสร้างไปเป็นรูไทล์จึงเกิดได้ดีที่สุด

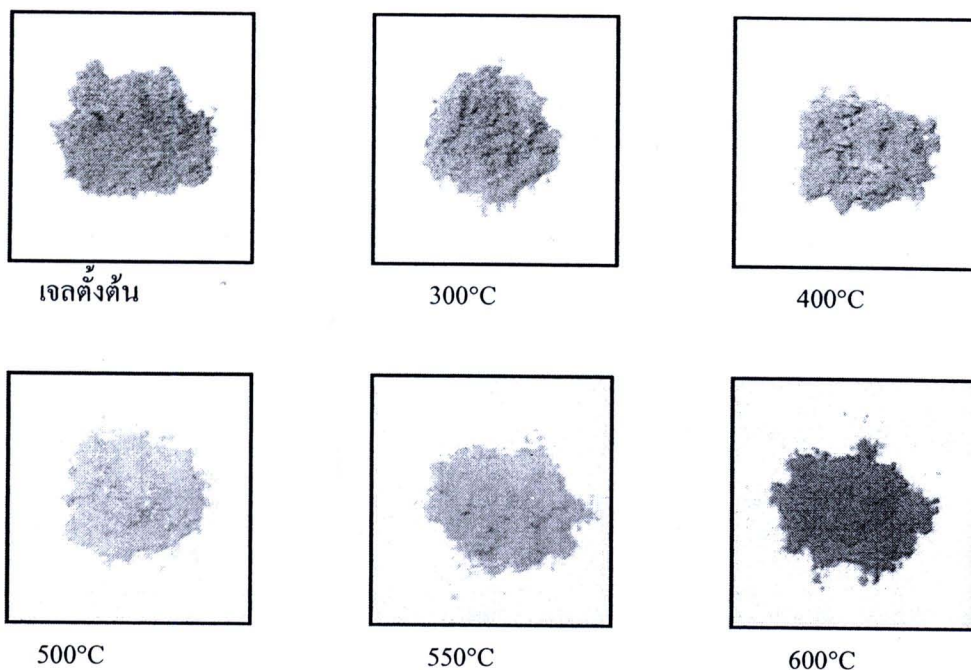
5.5 ผลของการเจือโลหะเงินที่มีต่อโครงสร้างผลึกของ TiO_2

ผลการคำนวณค่าแล็ตทิชพารามิเตอร์ขององค์ประกอบ $\text{Ag}-\text{TiO}_2$ ที่ปริมาณการเจือโลหะเงินต่างๆ ดังรูปที่ 5.5 ภาพความสัมพันธ์ระหว่างค่า c/a ของแต่ละอุณหภูมิเทียบกับปริมาณการเจือโลหะเงินลงในของไทเทเนียมไดออกไซด์ พบว่าโครงสร้างผลึกแบบอะนาเทสของ $\text{Ag}-\text{TiO}_2$ ที่ผ่านอุณหภูมิการเผาแคลไชน์ $400-600^\circ\text{C}$ ไม่เกิดการเปลี่ยนแปลงอย่างมีนัยสำคัญ แสดงว่าการเจือโลหะเงินไม่มีผลต่อโครงสร้างของไทเทเนียมไดออกไซด์ เนื่องจากผลของการแตกต่างของขนาดรัศมีไอออน และเลขอะกซิเจนในสภาวะปกติ ($\text{Ag}^+ = 1.26 \text{ \AA}$, $\text{Ti}^{4+} = 0.68 \text{ \AA}$) ส่วนที่อุณหภูมิการเผาแคลไชน์ 300°C พบว่าโครงสร้างผลึกแบบอะนาเทสของ $\text{Ag}-\text{TiO}_2$ มีการเปลี่ยนแปลงเล็กน้อย จากผลการตรวจพิสูจน์เอกลักษณ์องค์ประกอบ $\text{Ag}-\text{TiO}_2$ พบว่าการเผาแคลไชน์ที่อุณหภูมิ 300°C เป็นช่วงที่สารเริ่มเกิดโครงสร้างแบบอะนาเทส ดังนั้นจึงเป็นไปได้ที่อุณหภูมิดังกล่าวจะจัดเรียงตัวของอะตอมในโครงสร้างผลึกยังไม่สมบูรณ์และทำให้ไอออนของโลหะเงินมีโอกาสที่จะเข้าไปอยู่ในโครงสร้างอะนาเทสได้ จึงสามารถสังเกตุเห็นการเปลี่ยนแปลงโครงสร้างอะนาเทสเล็กน้อยที่อุณหภูมิ 300°C



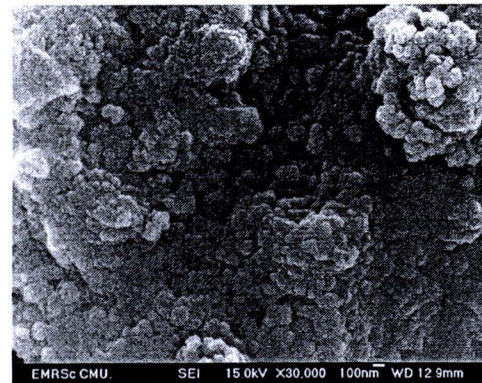
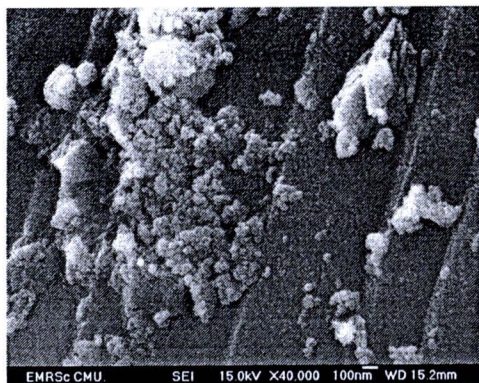
รูปที่ 5.5 แสดงกราฟความสัมพันธ์ระหว่างค่า c/a ของโครงสร้างผลึกแบบอะนาเทสในองค์ประกอบ $\text{Ag}-\text{TiO}_2$ กับปริมาณการเจือโลหะเงิน

5.6 สักษณะทางกายภาพของเจลตั้งตัน Ag-TiO_2 ก่อนการเผาแคลไชน์และหลังการเผาแคลไชน์



รูปที่ 5.6 รูปแสดงลักษณะทางกายภาพของเจลตั้งตันของ Ag-TiO_2 ที่สั่งเคราะห์ได้ก่อนการเผาแคลไชน์และหลังการเผาแคลไชน์ที่อุณหภูมิต่างๆ

5.7 ผลการตรวจสอบโครงสร้างในระดับจุลภาคของผงละอีด Ag-TiO_2 ด้วยกล้องจุลทรรศน์อิเล็กตรอนแบบส่องกราด (SEM)



Ag-TiO_2 600°C

TiO_2 600°C

รูปที่ 5.7 ภาพถ่าย SEM ของผงละอีด TiO_2 และ Ag-TiO_2 ที่ผ่านการเผาเคลือบที่อุณหภูมิ 600°C

5.8 ผลการตรวจพิสูจน์เอกลักษณ์ผงละอีดของ Ag-TiO₂ ที่ผ่านการเผาแคลไชน์แบบ 2 ขั้นตอนด้วยเทคนิคการเลี้ยวเบนของรังสีเอกซ์ (XRD)

จากผลตรวจพิสูจน์เอกลักษณ์ผงละอีดของ Ag-TiO₂ ด้วยเทคนิคการเลี้ยวเบนของรังสีเอกซ์ พบว่า อุณหภูมิการเผาแคลไชน์ 300°C เป็นอุณหภูมิที่สารเกิดและมีการจัดเรียงตัวเป็นโครงสร้างผลึกแบบของนาฬิกาเดือน เช่นเดียวกับ TiO₂ ดังนั้นในกระบวนการเผาแคลไชน์แบบ 2 ขั้นตอน จะใช้สภาวะเงื่อนไข และช่วงอุณหภูมิในแต่ละขั้นตอนที่เหมือนกับการเผาแคลไชน์ TiO₂ จากนั้นนำผงละอีดของ Ag-TiO₂ ที่ได้มาตรวจพิสูจน์เอกลักษณ์ด้วยเทคนิคการเลี้ยวเบนของรังสีเอกซ์ ซึ่งผลการตรวจพิสูจน์เอกลักษณ์ได้แสดงไว้ในรูปที่ 5.6

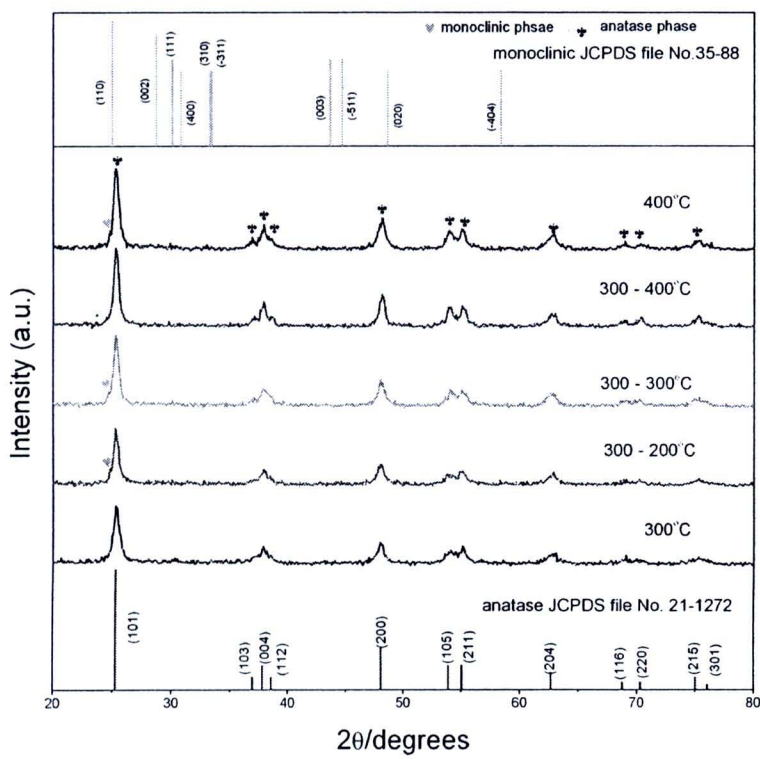
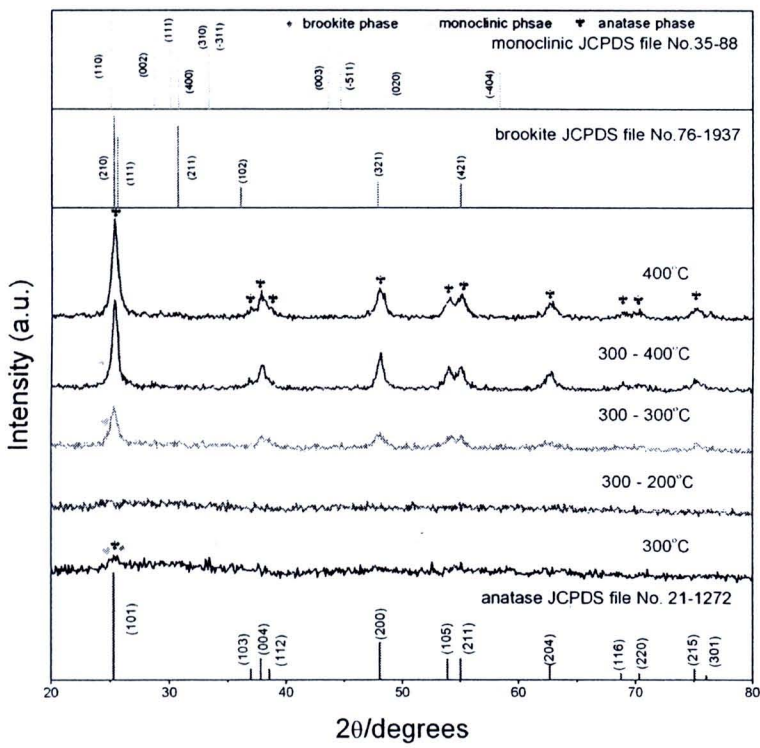
จากรูปที่ 5.6 (ก-ข) แสดงรูปแบบการเลี้ยวเบนของรังสีเอกซ์ของผงละอีด Ag-TiO₂ ที่ได้จากการเผาแคลไชน์ด้วยวิธีการเผาแบบ 2 ขั้นตอน พบว่า

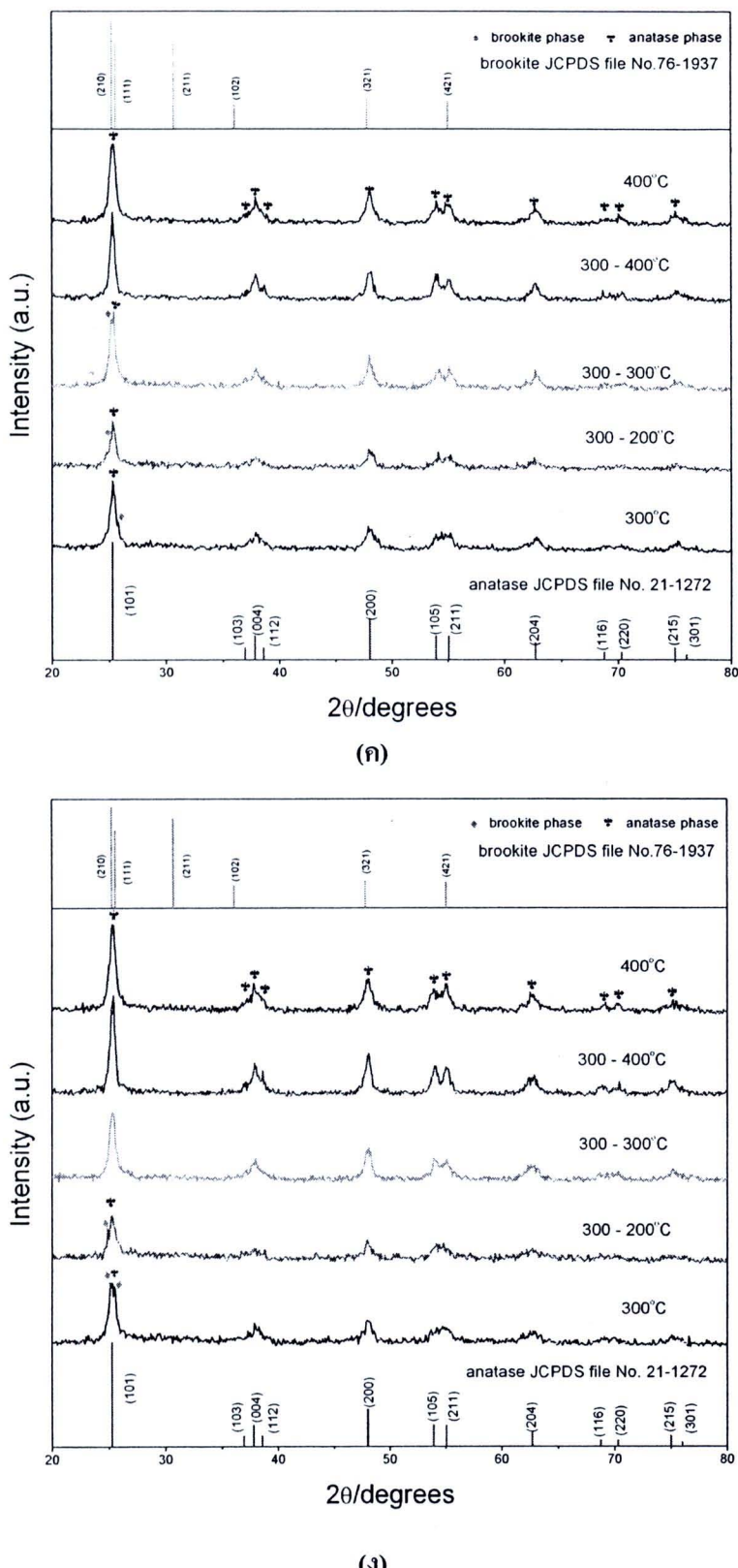
ที่ปริมาณการเจือโลหะเงินร้อยละ 0.5 โดยโนมล เมื่อผ่านการเผาแคลไชน์ 300-200°C จะเห็นว่ายังไม่ปรากฏพิกัดขึ้นแสดงว่าผงละอีด Ag-TiO₂ ยังอยู่ในรูปอสัมฐาน เมื่อเพิ่มอุณหภูมิขึ้นเป็น 300-300°C จะปรากฏพิกัดที่สอดคล้องกับรูปแบบการเลี้ยวเบนมาตรฐาน (JCPDS) หมายเลข [21-1272] และ [35-88] แสดงว่า TiO₂ มีโครงสร้างผลึกแบบโมโนคลินิกเกิดปนกับโครงสร้างผลึกแบบของนาฬิกา เมื่อเพิ่มอุณหภูมิแคลไชน์จนถึง 300-400°C พบว่าพิกที่เกิดจากโครงสร้างแบบโมโนคลินิกหายไปเหลือแต่พิกที่เกิดจากโครงสร้างแบบของนาฬิกาเท่านั้น และพบว่าความเข้มของพิกหลักของโครงสร้างแบบของนาฬิกามีค่าสูงขึ้นเมื่ออุณหภูมิแคลไชน์ในขั้นตอนที่ 2 เพิ่มขึ้น

ที่ปริมาณการเจือโลหะเงินร้อยละ 1 โดยโนมล เมื่อผ่านการเผาแคลไชน์ที่ 300-200°C และ 300-300°C พบว่ามีโครงสร้างผลึกแบบโมโนคลินิกเกิดปนกับโครงสร้างหลักที่เป็นแบบของนาฬิกา เมื่อเพิ่มอุณหภูมิแคลไชน์จนถึง 300-400°C พบว่าโครงสร้างผลึกจะเป็นแบบของนาฬิกาเท่านั้น และความเข้มของพิกหลักของโครงสร้างแบบของนาฬิกายังมีแนวโน้มที่สูงขึ้นเมื่ออุณหภูมิเพิ่มขึ้น

ที่ปริมาณการเจือโลหะเงินร้อยละ 1.5 โดยโนมล พบว่าการเผาแคลไชน์ที่ 300-200°C และ 300-300°C จะมีโครงสร้างแบบบรู๊คไคท์เกิดปนกับโครงสร้างหลักแบบของนาฬิกา และเมื่ออุณหภูมิแคลไชน์เพิ่มขึ้นเป็น 300-400°C โครงสร้างผลึกจะเป็นแบบของนาฬิกาเท่านั้น

ที่ปริมาณการเจือโลหะเงินร้อยละ 2 โดยโนมล พบว่าการเผาแคลไชน์ที่ 300-200°C จะมีโครงสร้างแบบบรู๊คไคท์เกิดปนกับโครงสร้างหลักแบบของนาฬิกา และเมื่ออุณหภูมิแคลไชน์เพิ่มขึ้นเป็น 300-300°C และ 300-400°C โครงสร้างผลึกจะเป็นแบบของนาฬิกาเท่านั้น และมีความเข้มของพิกหลักสูงขึ้น

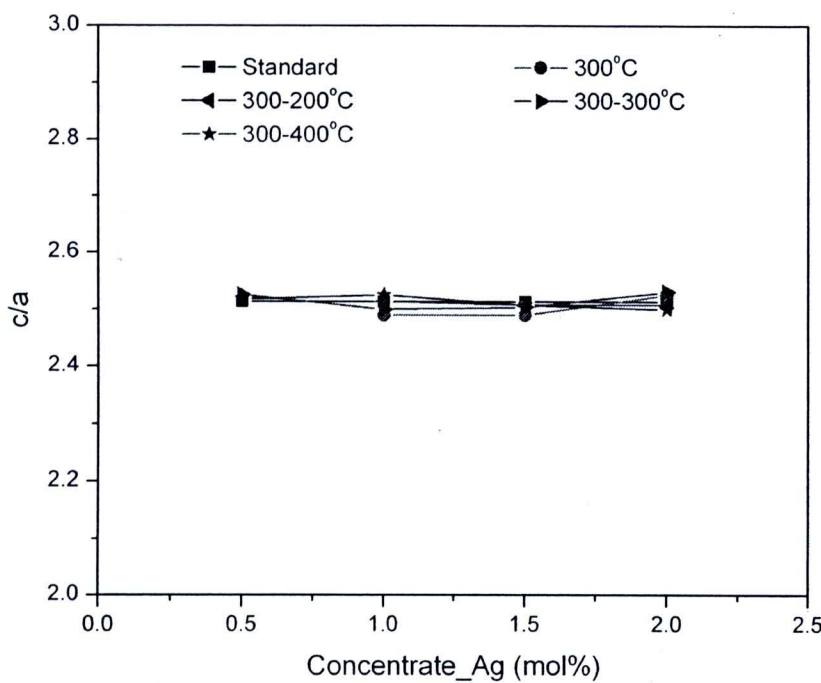




รูปที่ 5.8 รูปแบบการเลี้ยวเบนของรังสีเอกซ์ของไทเทเนียม dioxide ไชค์ที่เจือด้วยโลหะเงินในปริมาณ (ก) 0.5% mol (ข) 1% mol (ค) 1.5% mol (ง) 2% mol ที่เพาแคลไชน์ดวยวิธีการแบบ 2 ขั้นตอน

5.9 ผลของวิธีการเผาที่มีต่อโครงสร้างผลึกของ Ag-TiO_2

ในการเผาเคลื่อนชั้นๆแบบ 2 ขั้นตอนพบว่าไม่พบรการเปลี่ยนแปลงรีบเป่า

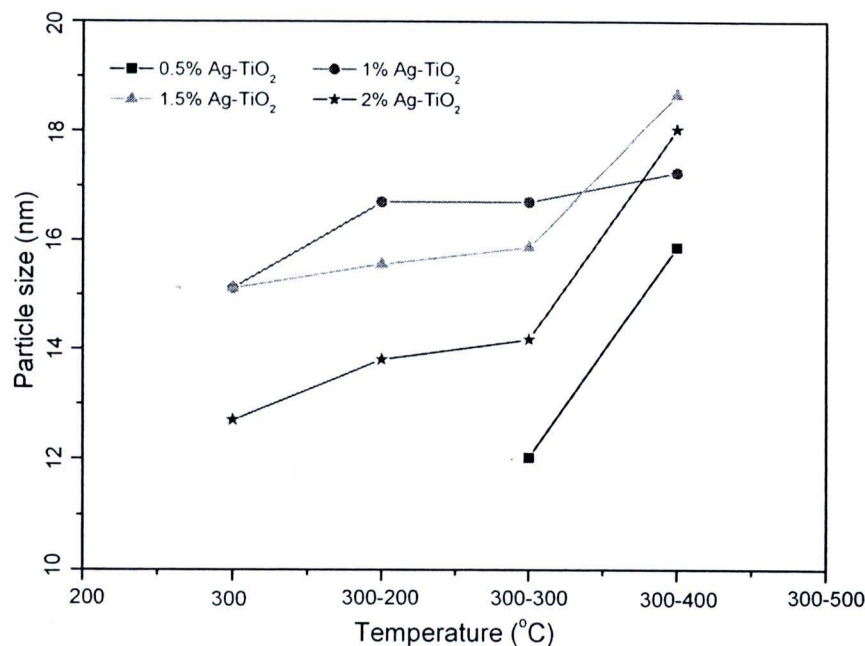


รูปที่ 5.9 กราฟแสดงความสัมพันธ์ระหว่างค่า c/a ของโครงสร้างอะนาเทสของ Ag-TiO_2 ที่ผ่านการเผาเคลื่อนชั้นๆแบบ 2 ขั้นตอน เทียบกับปริมาณการเจือโลหะเงิน

ตารางที่ 5.2 เสตดองค่าและพารามิเตอร์ ระหว่างขนาดอนุภาคของ Ag-TiO₂ ที่ผ่านการเผาเผต ไนน์แบบ 2 ทูนตอน

ความเข้มข้นของ Ag (mol%)	อุณหภูมิแก๊สโซน (°C)	แสดงพารามิเตอร์			ขนาดอนุภาค (nm)
		a = b (Å)	c (Å)	ปริมาตรหน่วยเซลล์ (Å ³)	
0.5	300-200	-	-	-	-
	300-300	3.78033	9.54646	136.42746	12.02345
	300-400	3.78033	9.51766	136.01588	15.87128
	300-200	3.78396	9.51395	136.22410	16.70592
1	300-300	3.78396	9.46034	135.45649	16.70661
	300-400	3.78033	9.54646	136.42746	17.25104
	300-200	3.78396	9.48861	135.86127	15.55976
	300-300	3.78768	9.48367	136.05766	15.8703
1.5	300-400	3.78396	9.48861	135.86127	18.67171
	300-200	3.78396	9.48861	135.86127	13.80083
	300-300	3.78219	9.57123	136.91607	14.16991
	300-400	3.78396	9.46034	135.45649	18.03554

5.10 ผลของวิธีการเผาที่มีต่อขนาดอนุภาคอะนาเกลสของ Ag-TiO₂



รูปที่ 5.10 กราฟแสดงความสัมพันธ์ระหว่างขนาดอนุภาคอะนาเกลสของ Ag-TiO₂ เทียบกับอุณหภูมิการเผาเคลือบแบบ 2 ขั้นตอน

จากรูปที่ 5.10 พบว่าการเจือโลหะเงินในปริมาณร้อยละ 1-2 โดยโน้ม ขนาดอนุภาคที่ได้จากการเผาเคลือบแบบ 2 ขั้นตอนจะมีขนาดใหญ่กว่าการเผาเคลือบแบบ 1 ขั้นตอน ที่อุณหภูมิ 300°C และมีขนาดเพิ่มขึ้นอย่างช้าๆ เมื่ออุณหภูมิการเผาเคลือบไชน์ในขั้นตอนที่ 2 เพิ่มขึ้น เนื่องจากขนาดอนุภาคอะนาเกลสของ Ag-TiO₂ ที่เกิดขึ้นจากการเผาเคลือบไชน์ในขั้นตอนแรกมีขนาดรัศมีที่ใหญ่กว่าขนาดรัศมีวิกฤต จึงพบว่าขนาดอนุภาคอะนาเกลสที่ได้ใหญ่กว่าอนุภาคที่ได้จากการเผาเคลือบไชน์ที่อุณหภูมิ 300°C ด้วยวิธีการแบบ 1 ขั้นตอน ส่วนอัตราการเติบโตของอนุภาคที่แสดงไว้ในตารางที่ 5.3 พบว่าค่าอัตราการเติบโตของการเผาเคลือบไชน์แบบ 2 ขั้นตอน จะน้อยกว่าค่าอัตราการเผาเคลือบไชน์แบบ 1 ขั้นตอน เนื่องจากอนุภาคอะนาเกลสที่เกิดขึ้นจากการเผาเคลือบไชน์ในขั้นตอนแรกจะคงพลังงานที่สะสมอยู่อยู่ก่อนมาในขณะที่ทำการลดอุณหภูมิลงเพื่อลดความเครียดในโครงสร้างส่างผลให้ไทเทเนียมไดออกไซด์ในรูปผลึกอะนาเกลสที่ได้เนื้อยาง ดังนั้นมีการให้พลังงานกับระบบอีกครั้งในขั้นตอนที่ 2 จึงพบว่าอัตราการเติบโตของอนุภาคที่ได้จากการเผาเคลือบไชน์ด้วยวิธีการแบบ 2 ขั้นตอน มากกว่าอัตราการเติบโตของอนุภาคที่ได้จากการเผาเคลือบไชน์แบบ 1 ขั้นตอน

ส่วนที่การเจือโลหะเงินร้อยละ 0.5 โดยโน้ม พบว่ามีแนวโน้มการเปลี่ยนแปลงขนาดอนุภาค และอัตราการเติบโตที่คล้ายกับไทเทเนียมไดออกไซด์บริสุทธิ์ โดยอนุภาคที่ได้จากการเผาเคลือบไชน์

ในขั้นตอนแรก (ที่อุณหภูมิ 300°C) มีขนาดรัศมีของอนุภาคเล็กกว่ารัศมีวิกฤต และเกิดการละลายกลาญเป็นของเหลว ก่อนที่จะมีนิวเคลียสใหม่เกิดขึ้น เช่นเดียวกับ ไทเทเนียม ไดออกไซด์บริสุทธิ์ แต่จะต่างกันที่ระบบของการเจือโลหะเงินร้อยละ 0.5 โดยโนล บัง ไม่พนการเกิดนิวเคลียสใหม่เกิดขึ้นในการเผาแคลไชน์ขั้นตอนที่ 2 ในขณะที่ ไทเทเนียม ไดออกไซด์บริสุทธิ์จะมีนิวเคลียสใหม่เกิดขึ้น ซึ่งสังเกตุได้จากผลจากการตรวจพิสูจน์เอกลักษณ์ผงละเอียดด้วยเทคนิค XRD พบว่า ผงละเอียดของ Ag-TiO_2 ที่ผ่านการเผาแคลไชน์แบบ $300\text{-}200^{\circ}\text{C}$ ไม่ปรากฏพิกที่สอดคล้องกับโครงสร้างแบบอะนาเทส ส่วนผงละเอียดของ ไทเทเนียม ไดออกไซด์บริสุทธิ์ที่ผ่านการเผาแคลไชน์แบบ $300\text{-}200^{\circ}\text{C}$ ปรากฏพิกที่สอดคล้องกับโครงสร้างแบบอะนาเทส ทั้งนี้น่าจะมีสาเหตุมาจากการโลหะที่ทำการเจือลง ไปสามารถที่จะดูดพลังงานที่ให้กับระบบไว้ได้บางส่วน ทำให้พลังงานที่ ไทเทเนียม ไดออกไซด์ ได้รับไม่เพียงพอสำหรับการเกิดนิวเคลียสใหม่ และเมื่อเพิ่มอุณหภูมิในขั้นตอนที่ 2 สูงขึ้นเป็น 300°C และ 400°C พบว่า มีโครงสร้างผลึกแบบอะนาเทสเกิดขึ้นและการขนาดเพิ่มขึ้นอย่างช้าๆ เมื่ออุณหภูมิเพิ่มขึ้น

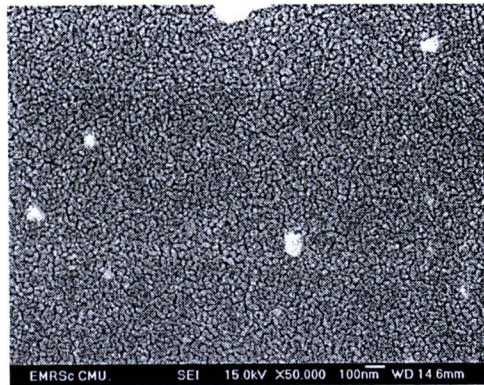
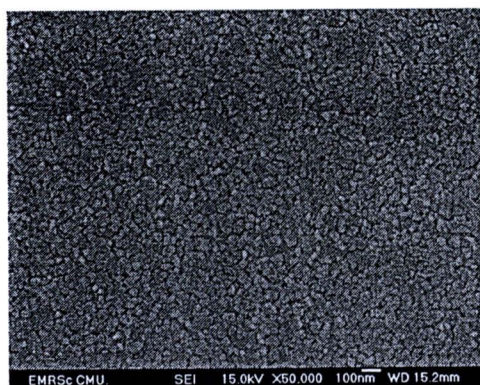


ตารางที่ 5.3 ผลิตของน้ำตาลและอัตราการเติบโตของอนุภาคอะโนนาเทาของ Ag-TiO₂ ที่ผ่านการเผาแคต ใช้น้ำยาวิชีการแบบ 1 ขึ้นต่อน และแบบ 2 ขึ้นต่อน

ปริมาณ Ag (mol%)	เดาแคต ใช้นแบบ 1 ขึ้นต่อน		เดาแคต ใช้นแบบ 2 ขึ้นต่อน	
	อุณหภูมิเกล ใช้น (°C)	อัตราการเติบโตของอนุภาค	อุณหภูมิเกล ใช้น (°C)	อัตราการเติบโตของอนุภาค
0.5	300	-	300-200	
	400	-	300-300	
	500	0.070574062	300-400	0.038478293
	550	0.139324125		
	600	0.057725572		
	300	-	300-200	
1	400	0.007557597	300-300	0.0000066849
	500	0.097273587	300-400	0.005444271
	550	0.12238719		
	600	0.272073492		
	300	-	300-200	
	400	-0.029067681	300-300	0.003105445
1.5	500	0.076302662	300-400	0.028014072
	550	0.132268792		
	600	-		
	300	-	300-200	
	400	0.014101731	300-300	0.003690842
	500	0.10309158	300-400	0.038656309
2	550	0.0685		
	600	0.289615245		

5.11 ผลการตรวจสอบโครงสร้างในระดับจุลภาคของฟิล์มนาง Ag-TiO₂ ด้วยกล้องจุลทรรศน์อิเล็กตรอนแบบส่องกราด (SEM)

5.11.1 ฟิล์มนางของ Ag-TiO₂ ที่เผาด้วยวิธีการแบบ 1 ขั้นตอน

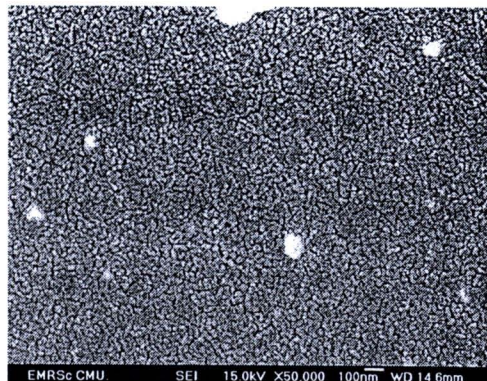
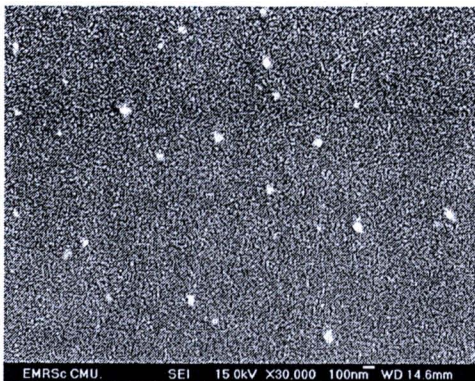


TiO₂ _500°C

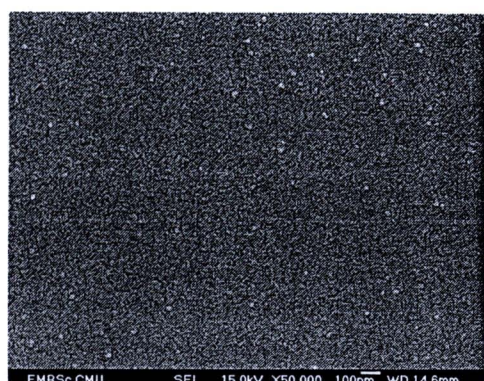
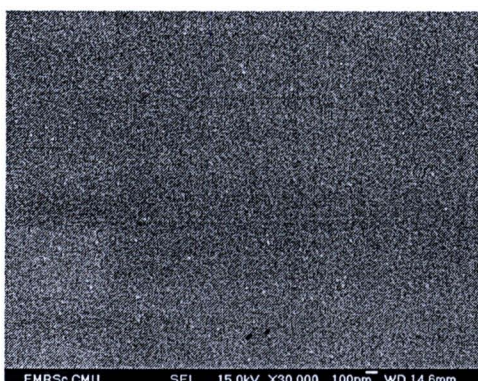
Ag-TiO₂ _500°C

รูปที่ 11 ภาพถ่าย SEM ของฟิล์มนางของ TiO₂ และ Ag-TiO₂ ที่ผ่านการเผาแคลดไชน์ที่อุณหภูมิ 500°C

5.11.2 ฟิล์มบางของ Ag-TiO_2 ที่เผาด้วยวิธีการแบบ 2 ขั้นตอน



Ag-TiO_2 10 ชั้น 500°C



Ag-TiO_2 10 ชั้น $400-500^\circ\text{C}$

รูปที่ 5.12 ภาพถ่าย SEM ของฟิล์มบางของ TiO_2 ที่ใช้วิธีการเผาแคลไชน์ (ก) แบบ 1 ขั้นตอน
*(ข) แบบ 2 ขั้นตอน